

## 1. 緒言

無限均質等方弾性体中に円孔が存在するとき、平面波による動的応力集中係数の算定とはじめ動的挙動についての研究が行なわれてきている。とくに P 波の入射による場合は Pao<sup>1)</sup> によって解析され、一方入射 SH 波については Pao<sup>1)</sup> と Mow<sup>2)</sup> によって、入射 SV 波については Mow<sup>2)</sup> と Mente<sup>3)</sup> によりそれぞれ扱われた。これらの研究においては 円孔の軸線に対して直角に入射した場合の波動の解析がなされており、円孔周辺において P 波と SV 波の場合 直応力  $\sigma_{\theta\theta}$  は最大値となり、また SH 波の場合 せん断応力  $\tau_{\theta z}$  が生じている。しかし SH 波が 円孔の軸線を含む平面に平行に進む場合、45° の方向から入射したとき入射波による直応力  $\sigma_{\theta\theta}$  は最大値をとりうる。このことに注目し、本研究においては 円孔周辺の応力、変位状態について解析を行なった。

## 2. 波動の変位表示

図 1 に示すように 円柱座標系 ( $r, \theta, z$ ) を用い、円孔の半径を  $a$  とする。SH 波が  $X-Z$  面と平行に、 $Z$  軸に対して角度  $\phi$  の方向から入射した場合を考えよう。

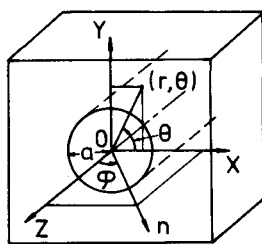


図 1. 斜め入射のせん断波を受ける円孔

$Z$  軸となす角度  $\phi$  とともに入射する SH 波の変位場は変位ポテンシャル

$$\chi^{(i)} = \chi_0 \exp[i(\beta z + \lambda z - \omega t)] \quad \dots \quad (1)$$

を用いて

$$u = l_1 \nabla \left( \frac{\partial \chi^{(i)}}{\partial z} \right) - l_1 c_3 \nabla^2 \chi^{(i)} \quad \dots \quad (2)$$

と表わされる。ここに  $\chi_0, l_1$  : 振幅に關係する定数,  $\beta = k_2 \sin \phi$ ,  $\lambda = k_2 \cos \phi$ ,  $k_2$ : 波数,  $\omega$ : 角振動数,  $c_3$ :  $Z$  軸方向の単位ベクトル,  $t$ : 時間である。次に

$$l_1 \chi_0 k_2^2 \sin \phi = A \quad \dots \quad (3)$$

とすれば式(2)は振幅  $A$  を有する SH 波を表す。式(1)を円柱座標系に変換すると次のようになる。

$$\begin{aligned} \chi^{(i)} &= \chi_0 \exp[i(\lambda z - \omega t)] \sum_{n=0}^{\infty} E_n i^n J_n(pr) \cos n\theta, \\ E_n &= \begin{cases} 1, & n=0 \\ 2, & n=1, 2, \dots \end{cases} \end{aligned} \quad (4)$$

さて散乱 P 波について 波数は次のように書ける。

$$\alpha^2 = (\omega/c_1)^2 - \lambda^2 = k_2^2 \{ (c_2/c_1)^2 - \cos^2 \phi \} \quad \dots \quad (5)$$

ここに  $c_1, c_2$  はそれぞれ P 波、S 波の速度である。 $c_1/c_2 = \sqrt{2(1-\nu)/(1-2\nu)}$  であり 特に  $\phi = 45^\circ$  の場合、ポアソン比が  $0 < \nu < 0.5$  に対して  $\alpha^2 < 0$  となる。それゆえ 第 1 種の Hankel 関数  $H_n^{(1)}(dr)$  について  $\alpha = i\beta$  とおきかえ、

$$K_n(sr) \text{ を第 1 種の変形された Bessel 関数とし }$$

$$H_n^{(1)}(isr) = (2/\pi) \exp[-(n+1)\pi i/2] K_n(sr) \quad \dots \quad (6)$$

に注意すると 散乱 P 波として 次のポテンシャル

$$\phi^{(d)} = \exp[i(\lambda z - \omega t)] \sum_{n=0}^{\infty} B_n (2/\pi) \times \exp[-(n+1)\pi i/2] K_n(sr) \cos n\theta \quad \dots \quad (7)$$

を用いることになる。また散乱 S 波については 次のポテンシャル

$$\psi^{(d)} = \exp[i(\lambda z - \omega t)] \sum_{n=0}^{\infty} C_n H_n^{(1)}(sr) \sin n\theta \quad \dots \quad (8)$$

$$\chi^{(d)} = \exp[i(\lambda z - \omega t)] \sum_{n=0}^{\infty} D_n H_n^{(1)}(sr) \cos n\theta \quad \dots \quad (9)$$

を用いる。式(7), (8), (9)を用いて 散乱波による変位場は次のように書ける。

$$\begin{aligned} u &= \nabla \phi^{(d)} + \nabla \times (\psi^{(d)} c_3) \\ &\quad + l_2 \nabla (\partial \chi^{(d)} / \partial z) - l_2 c_3 \nabla^2 \chi^{(d)} \end{aligned} \quad \dots \quad (10)$$

ここに  $\lambda_2 = 1/(k_2^2 \sin \varphi)$  である。

### 3. 境界条件

この問題における境界条件は次のように書ける。すなはち  $r=a$ において

$$\tau_{rz} = 0, \quad \dots \quad (11)$$

$$\tau_{r\theta} = 0, \quad \dots \quad (12)$$

$$\sigma_r = 0, \quad \dots \quad (13)$$

となる。変位ポテンシャル式(4),(7),(8),(9)及び変位表示式(2)と(10)を用い、変位と応力の関係式より応力の表示式を求め、式(11),(12),(13)に代入すると未定係数  $B_n, C_n, D_n$  に関する次のような連立方程式が得られる。

$$\begin{aligned} & \frac{(p^2 - \lambda^2)}{k_2^2 \sin \varphi} E_n i^n \left\{ \frac{n}{a} J_n(pa) - \beta J_{n+1}(pa) \right\} A + \frac{4}{\pi} i \lambda e^{-\frac{n+1}{2} \lambda i} \\ & \times \left\{ \frac{n}{a} K_n(3a) - 3 K_{n+1}(3a) \right\} B_n + i \frac{\lambda n}{a} H_n^{(1)}(pa) C_n \\ & + \frac{(p^2 - \lambda^2)}{k_2^2 \sin \varphi} \left\{ \frac{n}{a} H_n^{(1)}(pa) - \beta H_{n+1}^{(1)}(pa) \right\} D_n = 0, \quad \dots \quad (14) \end{aligned}$$

$$\begin{aligned} & \frac{2n E_n i^{n+1} \cot \varphi}{k_2 a} \left\{ \frac{1-n}{a} J_n(pa) + \beta J_{n+1}(pa) \right\} A + \frac{4n}{\pi a} e^{-\frac{n+1}{2} \lambda i} \\ & \times \left\{ \frac{1-n}{a} K_n(3a) + 3 K_{n+1}(3a) \right\} B_n + \left[ \left\{ \beta^2 - \frac{2n(n-1)}{a^2} \right\} H_n^{(1)}(pa) \right. \\ & \left. - \frac{2\beta}{a} H_{n+1}^{(1)}(pa) \right] C_n + \frac{2n i \cot \varphi}{k_2 a} \left\{ \frac{1-n}{a} H_n^{(1)}(pa) + \beta H_{n+1}^{(1)}(pa) \right\} D_n = 0, \quad \dots \quad (15) \end{aligned}$$

$$\begin{aligned} & \frac{E_n i^{n+1} \cot \varphi}{k_2} \left[ \left\{ \frac{n(n-1)}{a^2} - \beta^2 \right\} J_n(pa) + \frac{\beta}{a} J_{n+1}(pa) \right] A + \frac{2}{\pi} e^{-\frac{n+1}{2} \lambda i} \\ & \times \left[ \left( \frac{1}{1-2\nu} (\nu^2 - \nu \lambda^2) + \frac{n(n-1)}{a^2} \right) K_n(3a) + \frac{3}{a} K_{n+1}(3a) \right] B_n \\ & + \frac{n}{a} \left\{ \frac{n-1}{a} H_n^{(1)}(pa) - \beta H_{n+1}^{(1)}(pa) \right\} C_n \\ & + \frac{i \cot \varphi}{k_2} \left[ \left\{ \frac{n(n-1)}{a^2} - \beta^2 \right\} H_n^{(1)}(pa) + \frac{\beta}{a} H_{n+1}^{(1)}(pa) \right] D_n = 0. \quad \dots \quad (16) \end{aligned}$$

### 4. 数値計算

$\varphi = 45^\circ$  の場合について計算した。数値は有効数字三桁をもつように  $n$  を 10 項まで用了。動的応力集中係数は  $r=a$  において  $\sigma_\theta^* = \sigma_\theta / (\mu k_2 A)$ ,  $\mu$  はせん断弾性係数

と定義される。図2はホアン比を変位で示した場合の  $\sigma_\theta^*$  の実部、虚部を表わしている。波数が 0.4 附近において  $\text{Im}(\sigma_\theta^*)$  の絶対値は最大値となり、動的応力集中係数は静的のそれに比べ 9% 程度大きい値となる。

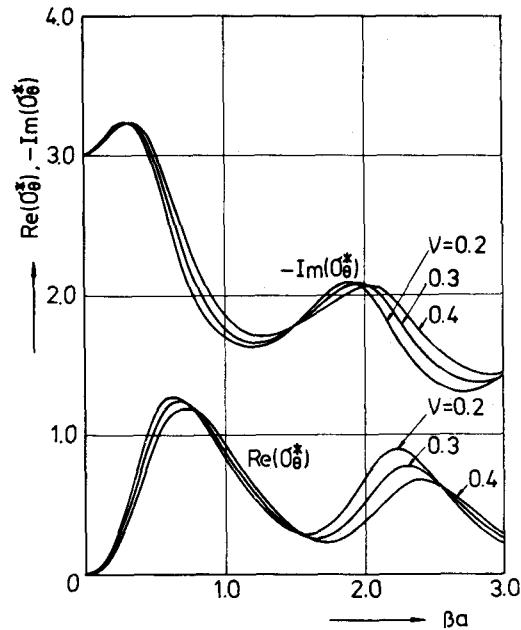


図2. 動的応力集中係数と波数の関係 ( $\theta = \frac{\pi}{2}$ )

### 5. あとがき

今回の結果は素地トンネルに対応していると思われるが、さらに覆工を施したトンネルについても検討して行きたいと思う。

### 参考文献

- 1) Pao, Y. H.: Dynamical stress concentration in an elastic plate. *J. Appl. Mech.* 29, 299, 1962.
- 2) Pao, Y. H., and Mow, C. C.: "Diffraction of Elastic Waves and Dynamic Stress Concentrations." Crane, Russak, and Co., New York. 113, 1973.
- 3) Mow, C. C. and Mente, L. J.: Dynamic stresses and displacements around cylindrical discontinuities due to plane harmonic shear waves. *J. Appl. Mech.* 30, 598, 1963